

*Переменные звезды 21, № 2, 183–190, 1979*  
*Variable Stars 21, No 2, 183–190, 1979*

Фотометрические наблюдения XX Змееносца в 1964–1978 годах

Т. С. Белякина, Г. Е. Ерлексова, Г. В. Зайцева

Представлена фотографическая кривая блеска XX Oph 1964–72 годов. Фотоэлектрические UBV–измерения 1970–78 годов показали, что в среднем, увеличение блеска переменной в системе V вызывает покраснение показателя цвета (U–B). Из совокупности наших фотографических и фотоэлектрических наблюдений следует, что характер переменности XX Oph в 1964–78 годах не изменился по сравнению с 1890–1946 годами. Показано существование относительно быстрых колебаний блеска XX Oph с амплитудой 0<sup>m</sup>.1–0<sup>m</sup>.2.

Измерения H<sub>α</sub>–эмиссии, выполненные в 1972 и 1974 годах, не коррелируют с изменениями блеска XX Oph в полосе V.

Обращено внимание на изменение контура H<sub>α</sub> со временем.

The Photometric Observations of XX Oph from 1964 through 1978  
 by T.S. Belyakina, G.E. Erleksova, G.V. Zaitseva

The photographic light curve of XX Oph from 1964 through 1978 is shown (fig. 1). The photoelectric UBV measurements of this star for the period 1970–78 demonstrate that in the average the brightness in the V-system is connected with reddening of the colour index (U–B) (fig. 2,3). From our observations it follows that the behaviour of XX Oph during 1964–1978 was not changed as compared with that of 1890–1946. There were rather rapid light variations of XX Oph with the amplitude close to 0<sup>m</sup>.1–0<sup>m</sup>.2 (fig. 2).

The measurements of H<sub>α</sub>–emission in 1972 and 1974 do not correlate with light variations of XX Oph in the band V (fig. 2). Attention was drawn to the time variations of the H<sub>α</sub> contour (fig. 4).

Неправильная переменная XX Oph известна с начала нашего века. Прагер (1941) и Гапонкин (1946) показали, что согласно фотографической кривой блеска 1890–1946 годов, XX Oph напоминает переменные типа R Cr B. Однако в отличие от последних, амплитуда колебаний ее блеска не превышает 1<sup>m</sup>.5 в фотографических лучах. После 1946 года опубликовано лишь несколько отдельных фотографических и визуальных оценок блеска. Имеются также немногочисленные фотоэлектрические наблюдения в системе BV (Бродская, 1968) и UBV (Белякина, 1974). Однако, по этим данным трудно составить полное представление об изменении блеска переменной в течение последних тридцати лет.

В спектре XX Oph, наряду с яркими линиями водорода, нейтрального гелия, нейтральных и ионизованных металлов, видно большое количество линий ионизованного железа. Поэтому эту звезду иногда назы-

вают "жел зной". Интенсивность и вид контура многих эмиссионных линий переменны. Однако связь этих изменений с колебаниями блеска звезды не обнаружена. Сложные контуры некоторых спектральных линий XX Oph свидетельствуют об интенсивном истечении вещества (Меррил, 1951, 1961).

Недавно фотометрические и спектральные наблюдения XX Oph, выполненные в широком диапазоне длии волн ( $0.36-10.2\mu$ ), показали, что эта звезда двойная, причем горячий компонент В0 III в визуальной области спектра на  $4^m$  ярче холодного M6 III. Таким образом, излучение переменной в области  $\lambda \leq 0.6\mu$  характеризуется лишь горячим компонентом (Локвуд и др., 1975; Хамфри и Галагер, 1977).

Нами выполнены фотографические и фотоэлектрические UBV наблюдения XX Oph в течение 1964-78 годов. Было сделано также несколько измерений интенсивности  $H_{\alpha}$  эмиссии в спектре этой звезды. Описание и обсуждение этих наблюдений представлены ниже.

### Наблюдения.

*Фотографические величины* XX Oph оценены по пластиинкам "Службы неба" Института Астрофизики АН Тадж. ССР в Душанбе в системе, близкой к В. В качестве звезд сравнения использованы звезды списка Шепли и Вудса (1926).

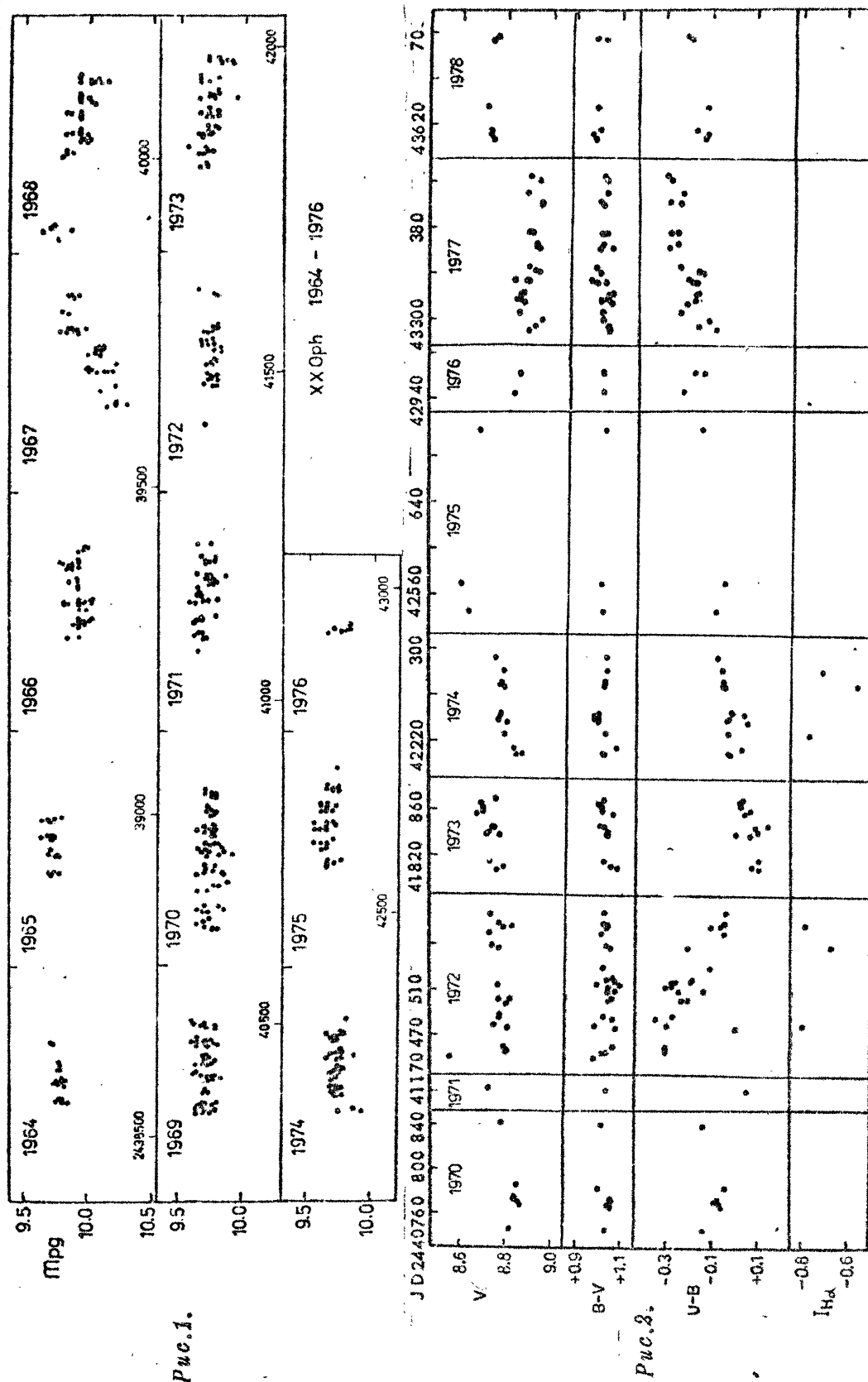
Полученные 855 оценок, характеризующие изменение блеска переменной в 1964-1976 годах, представлены на рис. 1. Из этого рисунка видно, что блеск звезды преимущественно был близок  $m_{pg} = 9^m7$ , то есть к максимальному блеску. Лишь в 1966-67 гг и в 1968 году наблюдались два минимума с амплитудами  $0^m0$  и  $0^m4$  соответственно. Отсюда следует, что характер переменности XX Oph в 1964-76 годах существенно не изменился по сравнению с 1890-1946 годами (Прагер, 1941; Гапошкин, 1946).

*Фотоэлектрические UBV-наблюдения* XX Oph выполнены в Крыму на трех телескопах: 60-см рефлекторе Южной станции ГАИШ, 70-см рефлекторе и 64-см менисковом телескопе Крымской астрофизической обсерватории.

Звезды сравнения и контрольные звезды приведены в таблице 1, где указаны номер звезды по BD, определенные нами значения величин V и показателей цвета B-V и U-B и спектральные классы по HD.

Таблица 1.

Звезда	V	B-V	U-B	Sp HD	Примечание
BD-6°4634	10 <sup>m</sup> 13	+0 <sup>m</sup> 82	+0 <sup>m</sup> 62	-	Контрольная звезда
BD-6°4641	9.52	+0.58	-0.01	F8	Звезда сравнения
BD-6°4643	9.31	+0.80	+0.68	A0	Звезда сравнения
BD-6°4651	8.95	+0.77	+0.40	B9	Контрольная звезда



Результаты наших фотозелектрических наблюдений, приведенные к системе UBV, представлены в таблице 2 и на рисунке 2. Измерения, выполненные на трех различных фотометрах, хорошо согласуются между собой, несмотря на то, что в спектре XX Oph имеются многочисленные эмиссионные линии. Повидимому, эффект ярких полос невелик.

Рассмотрение рисунка 2 показывает, что в 1970–78 годах излучение XX Oph в наблюдаемом диапазоне спектра менялось достаточно медленно в пределах нескольких десятых звездной величины. Блеск переменной в полосах V и B колебался синхронно с близкими по величине амплитудами, не превышающими  $0^m4$ . Однако излучение звезды в полосе фильтра U менялось несколько иначе. Эти изменения не однозначно связаны с колебаниями блеска в полосах V и B и имеют большую по сравнению с ним амплитуду ( $\Delta U \approx 0^m5$ ). Так, небольшое ( $\Delta V \approx 0^m1$ ) увеличение блеска XX Oph в полосе V в 1972–73 гг вызвало значительное увеличение показателя цвета U–B (покраснение звезды); небольшое падение блеска V в 1977 году сопровождалось уменьшением U–B. На рис. 3 представлено соотношение между усредненными за год величинами V и U–B. Видно, что между V и U–B существует зависимость, показывающая, что увеличение блеска XX Oph в полосе V вызывает, в среднем, покраснение показателя цвета U–B. Выпадают из этой зависимости лишь наблюдения 1975 г., которые, в общем, немногочисленны.

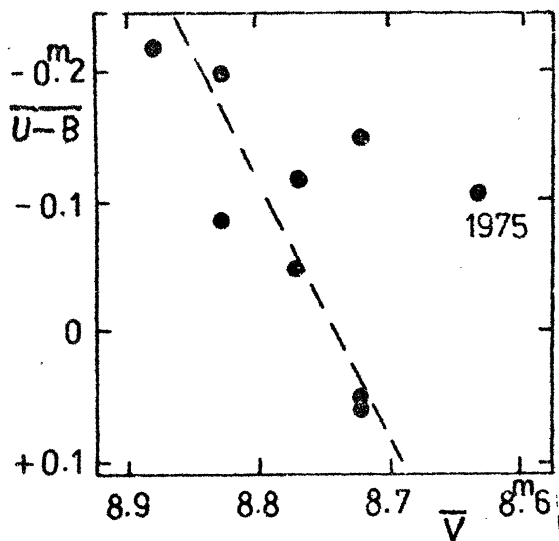


Рис. 3. Сопоставление величины V и показателя цвета ( $U-B$ ) XX Oph, усредненных за год.

Кроме медленных колебаний от года к году, излучение XX Oph подвержено быстрым колебаниям, что выражается в дисперсии оценок на кривых блеска и показателей цвета, превышающей по величине ошибки наблюдений. Амплитуда этих колебаний около  $0^m1$ – $0^m2$ .

Фотозелектрические измерения интенсивности  $H_{\alpha}$ -эмиссии в спектре XX Oph проведены в течение трех ночей 1972 г. и трех ночей 1974 г. Эти наблюдения выполнены на 125-см рефлекторе Южной станции ГАИШ с узкополосным электрофотометром, снабженным интерферционным клиновым фильтром (Черепашук и др., 1973). Эффективная полоса пропускания фильтра равна  $160\text{ \AA}$ .

Таблица 2.

JD	V	B-V	U-B	JD	V	B-V	U-B
2440745.408	8. <sup>m</sup> 81	+1. <sup>m</sup> 06	-0. <sup>m</sup> 14	2442209.367	8. <sup>m</sup> 86	+1. <sup>m</sup> 01	-0. <sup>m</sup> 04
765.396	8.86	1.05	-0.06	213.357	8.82	1.07	+0.02
768.417	8.85	1.04	-0.07	226.318	8.78	1.02	-0.04
771.403	8.83	1.06	-0.09	236.318	8.79	0.99	+0.04
773.425	8.83	1.05	-0.08	238.326	8.75	0.97	-0.05
783.367	8.85	1.00	-0.04	239.322	8.75	0.99	-0.04
839.267	8.78	1.01	-0.14	242.319	8.76	0.97	+0.03
41170.302	8.72	1.03	+0.05	244.313	8.76	0.99	-0.03
450.387	8. <sup>m</sup> 54	0.97	-	267.294	8.78	1.02	-0.06
454.358	8.79	1.01	-	268.281	8.76	1.02	-0.07
455.374	8.80	1.03	-0.31	271.344	8.77	1.02	-0.06
459.382	8.78	1.06	-0.31	281.265	8.78	1.03	-0.07
475.440	8.80	1.07	0.00	292.289	8.74	1.05	-0.09
478.421	8.74	0.98	-0.30	543.458	8.62	1.01	-0.10
484.417	8.76	1.06	-0.35	567.407	8.59	1.00	-0.06
485.369	8.77	1.02	-0.28	700.204	8.67	1.02	-0.16
496.879	8.79	-	-	943.395	8.82	1.01	-0.24
500.365	8.76	1.04	-0.24	960.374	8.84	1.01	-0.15
501.367	8.81	1.05	-0.21	961.360	8.84	1.01	-0.19
508.332	-	1.04	-0.25	432.82.438	8.91	1.03	-0.17
509.339	-	1.07	-0.14	287.468	8.94	1.01	-0.14
512.322	-	1.04	-0.31	289.453	8.88	1.04	-0.09
513.423	8.76	1.09	-0.28	304.484	8.84	1.01	-0.25
515.335	-	0.98	-0.28	312.418	8.86	1.05	-0.22
517.326	-	1.07	-0.26	315.396	8.84	1.00	-0.15
518.339	-	1.03	-0.20	.425	8.83	1.03	-0.18
519.319	-	1.06	-0.19	320.409	8.85	1.04	-0.18
539.289	-	1.02	-0.11	321.434	8.86	1.06	-0.17
546.354	8.76	1.05	-0.21	331.375	8.88	0.99	-0.18
549.266	8.73	1.03	-	.413	8.87	1.02	-0.20
559.256	8.74	1.01	-0.05	333.451	8.82	0.96	-0.22
565.304	8.78	1.04	-0.11	339.438	8.93	1.00	-0.15
566.267	8.82	1.04	-0.07	340.315	8.91	1.00	-0.17
568.249	8.76	1.02	-0.05	344.329	8.88	0.98	-0.25
577.248	8.72	1.02	-0.05	360.320	8.93	1.00	-0.30
806.477	8.75	1.08	+0.10	361.307	8.91	1.05	-0.30
808.521	8.78	1.05	+0.07	364.338	8.91	1.01	-0.26
813.431	8.72	1.02	+0.10	374.267	8.89	1.03	-0.29
836.355	8.76	1.04	+0.06	.295	8.90	1.01	-0.26
838.458	8.71	1.03	0.00	399.250	8.94	1.01	-0.25
839.417	8.72	1.04	+0.10	400.234	8.94	1.00	-0.29
843.400	8.73	1.02	+0.08	408.238	8.88	1.03	-0.24
844.377	8.74	1.00	+0.14	420.203	8.93	1.03	-0.29
855.462	8.66	1.06	+0.04	423.212	8.89	1.02	-0.30
857.366	8.69	1.01	+0.06	606.559	8.73	0.98	-0.14
861.317	8.69	1.01	+0.02	610.536	8.72	0.97	-0.13
864.376	8.68	0.99	+0.02	614.525	8.72	1.00	-0.18
867.346	8.75	1.02	+0.03	624.480	8.71	0.99	-0.13
42208.351	8.83	1.02	-0.03	692.401	8.73	1.03	-0.19
.377	8.83	1.02	-0.04	695.382	8.75	0.98	-0.21

Узкополосные наблюдения проводились в трех спектральных областях  $\lambda\lambda$  6563 Å (линия), 6380 Å и 6140 Å (континуум) дифференциальным способом по отношению к звезде сравнения BD-6°4643. Интенсивность эмиссионной линии H <sub>$\alpha$</sub>  определялась как разность между интенсивностью излучения XX Ori в области 6563 Å и проинтерполированной на эту длину волны интенсивностью континуума, выраженных волях излучения звезды сравнения. Таким образом, эти наблюдения могут дать излучение линии H <sub>$\alpha$</sub> , выраженное в абсолютных энергетических единицах, если известно абсолютное распределение энергии в спектре звезды сравнения.

В таблице 3 приведены результаты узкополосных наблюдений. В столбцах размещены: моменты наблюдений в юлианских днях, отношение потоков XX Oph ( $I_v$ ) и звезды сравнения ( $I_c$ ) в спектральных областях  $\lambda\lambda 6380, 6533 \text{ и } 6740 \text{ \AA}$ . В последнем столбце приведена относительная интенсивность  $H_\alpha$ -эмиссии, выраженная в единицах потока от звезды сравнения и представленная в шкале звездных величин.

Таблица 3.

Дата JD	$I_v/I_c$ $\lambda 6380 \text{ \AA}$	$I_v/I_c$ $\lambda 6563 \text{ \AA}$	$I_v/I_c$ $\lambda 6740 \text{ \AA}$	$H_\alpha(\Delta m)$
2441478.488	2.150	4.310	2.266	-0. <sup>m</sup> 805 ±0. <sup>m</sup> 05
546.356	2.052	4.028	2.267	-0.679 ±0.082
566.254	2.042	4.172	2.142	-0.795 ±0.008
42226.393	2.018	4.123	2.120	-0.782 ±0.005
269.30	2.114	3.856	2.204	-0.574 ±0.0.8
281.33	2.046	4.055	2.162	-0.726 -

Графически эти результаты изображены на рис. 2 внизу. В период наблюдений интенсивность линии менялась в пределах 0<sup>m</sup>23. В четырех случаях из шести имеются близкие по времени (<0<sup>d</sup>07) оценки UVB этой звезды. Однако, заметной корреляции интенсивности линии  $H_\alpha$ , с одной стороны, и блеска и показателя цвета U-B, с другой стороны, не обнаружено.

#### Обсуждение результатов. Заключение.

Наши фотографические и фотоэлектрические наблюдения позволили проследить изменение блеска XX Oph в период с 1964 г. по 1978 г., то есть в течение 15 лет. Они показали, что в это время звезда находилась преимущественно в максимуме блеска  $m_{\text{av}} \approx 9.^m7$ . Наблюдались два минимума глубиной 0<sup>m</sup>6 и 0<sup>m</sup>4 и продолжительностью сотни дней. К сожалению, более глубокие минимумы с  $\Delta m > 1^m$ , такие наблюдались в 1895, 1900, 1921–23 гг (Прагер, 1941), нами не зарегистрированы.

Фотоэлектрические UVB-измерения, выполненные в течение 9 лет, обнаружили сложный характер изменений блеска XX Oph в диапазоне 3500–6500 Å. В полосах V и B изменения блеска происходили синхронно и практически с равными амплитудами. Излучение же в полосе U, во-первых, менялось с большей амплитудой, а во-вторых, в среднем, увеличение блеска V сопровождалось уменьшением блеска в полосе U. Характерное время этих колебаний—десятки дней, и амплитуда  $\Delta U$  достигала 0<sup>m</sup>5. Кроме того, имели место быстрые колебания блеска от ночи к ночи с амплитудой 0<sup>m</sup>1–0<sup>m</sup>2.

Фотоэлектрические наблюдения интенсивности  $H_\alpha$ -эмиссии в спектре XX Oph показали переменность с амплитудой 0<sup>m</sup>23. Отсутствие корреляции между изменениями  $I_{H_\alpha}$  и блеска и показателей цвета можно объяснить следующими причинами:

а) малочисленностью полученных данных по интенсивности  $H_\alpha$ ;  
б) возможным наличием неоднозначной зависимости  $I_{H_\alpha}$  и V,  $I_{H_\alpha}$  и U-B, которая наблюдалась у звезд типа T Тельца RY Tau (Зайцева и др., 1974), DF Tau (Зайцева и Лютый, 1976). Не исключено, что у XX Oph имеет место подобная неоднозначность;

в) наши наблюдения не включают глубоких минимумов, во время которых могли бы проявиться особенности изменения эмиссионных линий.

Исследование двойных систем, и добных XX Oph, представляет большой интерес, поскольку один из компонентов является поздним гигантом и близок к критическому моменту своей эволюции. Для понимания процессов, происходящих в XX Oph, большое значение имели бы следующие наблюдения:

1) Фотометрирование этой звезды в области длин волн  $\lambda \geq 1\mu$ , поскольку, согласно Локвуду и др. (1975), в этой области спектра преобладает излучение холодного компонента.

2) Одновременные спектральные и фотометрические исследования XX Oph в широком диапазоне длин волн ( $0.3-2\mu$ ) при значительном ослаблении ее блеска ( $\Delta m > 0.5$ ). Такие наблюдения до сих пор не проведены. В то же время, сопоставление опубликованных данных свидетельствует

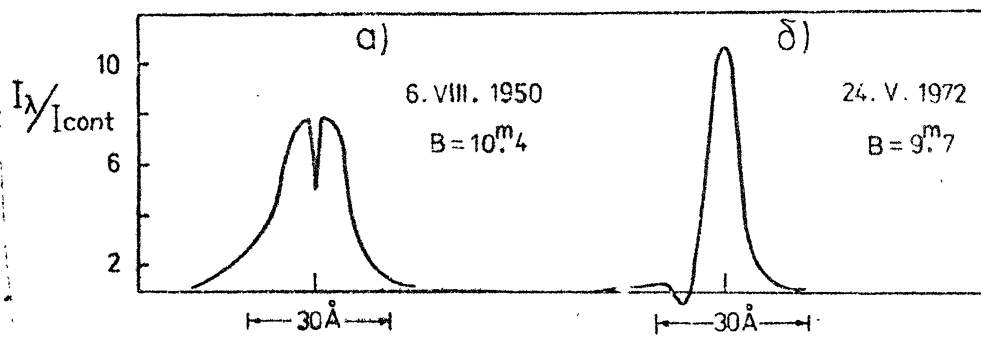


Рис. 4. Контуры линии  $H_{\alpha}$  в 1950 г. (Мерилл, 1951) и в 1972 г. (Зайцева и Колотилов, 1973 г.).

о значительных изменениях, происходящих в спектре XX Oph, в частности, в виде контура линии  $H_{\alpha}$ . Так, контур  $H_{\alpha}$ -эмиссии, опубликованный Мериллом (1951), относящийся к дате 6 августа 1950 года и блеску  $B=10.4$  (минимум), имел двухкомпонентную структуру с узким абсорбционным провалом в центре (рис. 4а). Ширина линии на уровне непрерывного спектра была около 30 Å. В мае 1972 года (Зайцева и Колотилов, 1973) блеск звезды был  $B=9.7$  и  $H_{\alpha}$  имела контур типа Р Сyg: одиночная эмиссия и абсорбционный провал, соответствующий лучевой скорости  $-450$  км/с (рис. 4б). Оба эти контура получены на основе спектров сравнимой дисперсии: 15 Å (1950 г.) и 20 Å (1972 г.).

#### Литература:

- Белякина Т.С., 1974, АЦ № 834.  
 Бродская Э.С., 1968, ПЗ 16, 429.  
 Гапошкин, 1946—Gaposchkin S., ИВ 918, 10.  
 Зайцева Г.В. и Колотилов Е.А., 1973, Астрофизика 9, 186.  
 Зайцева Г.В. и Лютый В.М., 1976, ПЗ 20, 266.  
 Зайцева Г.В., Лютый В.М., Черепашук А.М., 1974, Астрофизика 10, 357.  
 Локвуд и др., 1975—Lockwood G.W., Dyck H.M., Ridgway S.T., Astrophys. 195, 385.

Черрилл, 1951— Merrill P.W., *Astrophys. J.* **114**, 37.  
Меррилл, 1961— Merrill P.W., *Astrophys. J.* **133**, 503.  
Прагер, 1941— Prager R., HB 912, 17.  
Хэмфри и Галагер, 1977— Humphreys R.M., Gallagher J.S., *PASP* **89**, 182.  
Черепашук А.М., Лютый В.М., Халиуллин Х.Ф., 1973, АЖ **50**,  
1105.  
Шэпли и Вудс, 1926— Shapley H., Woods I.E., NC 292.

Крымская астрофизическая  
обсерватория АН СССР  
Институт Астрофизики АН  
Таджикской ССР  
Государственный астрономический  
институт им. Штернберга

Поступила в редакцию  
12 октября 1978 г.

#### Дополнение.

Звездная величина  $BD-6^{\circ}4634$ , приведенная в работе  
[H.F. Haupt, A.Schöll, *As Ap Suppl.*, **15**, 311, 1974]  $8^m.83-8^m.95\ V$   
не согласуется с полученной нами ( $10^m.13\ V$ ). В этой же работе  
заподозрена переменность  $BD-6^{\circ}4634$ . Кроме того, звездная  
величина  $XX\ Oph$  в 1969 г. согласно этой работе равна  $9^m.5\ V$ ,  
что не согласуется с нашими данными ( $\sim 8^m.8\ V$ ).